

## ОБ ОШИБКЕ ДИСКРЕТНОЙ СИСТЕМЫ РЕГУЛИРОВАНИЯ НАПРЯЖЕНИЯ СИНХРОННОГО ГЕНЕРАТОРА С НЕЯВНО ВЫРАЖЕННЫМИ МШИ

Е. Г. Орлов, Н. В. Бородовицын, Б. В. Усков

(Представлена научным семинаром кафедр электрических машин  
и общей электротехники)

Для регулирования напряжения синхронных генераторов (СГ) малой мощности, используемых в качестве источников питания, широко применяются регуляторы на транзисторах, работающих в режиме переключения [1].

Режим переключения транзисторов обеспечивается за счет воздействия на вход усилителя с релейной или близкой к релейной характеристикой периодического сигнала пилообразной формы, содержащегося в управляющем воздействии или подаваемого отдельно. Указанные регуляторы относятся к классу дискретных регуляторов с «неявно выраженным модулятором ширины импульсов» (МШИ). В литературе при исследовании таких систем релейная характеристика усилителя заменяется на линеаризованную в соответствии с теорией вибрационной линеаризации и вся система рассматривается как линейная [1], [2], что часто приводит к существенным погрешностям при определении ошибки регулирования.

В работе дается анализ ошибки в системе регулирования напряжения СГ с обмоткой подмагничивания (ОП) с неявно выраженным МШИ точным методом с учетом реальных характеристик элементов.

Рассматриваемую систему регулирования при небольших отклонениях от установившегося режима работы можно описать следующими уравнениями:

$$\begin{aligned} U_r &= E - k_1 i_n - k_2 i_h \\ i_n &= \frac{U_p}{R_{op}} \cdot \frac{1}{T_1 p + 1} \\ U_1 &= \frac{k_3}{T_2 p + 1} U_r \\ U_{\varphi} &= k_4 (U_1 - U_0). \end{aligned} \quad (1)$$

Здесь обозначено:

$U_r$  — напряжение СГ;

$E$  — эдс генератора;

$i_h$  — ток нагрузки;

$i_n$  — ток ОП;

$U_p$  — напряжение на выходе усилителя;

$R_{op}$  — сопротивление ОП;

$U_{\varphi}$  — напряжение на выходе чувствительного элемента (ЧЭ);

$U_0$  — опорное напряжение;

$K_1, K_2, K_3, K_4$  — постоянные коэффициенты;

$T_1, T_2$  — постоянные времена ОП и фильтра ЧЭ соответственно.

Величина постоянной времени ОП —  $T_1$  зависит от величины тока  $i_H$  по гиперболическому закону из-за насыщения спинки якоря (рис 2).

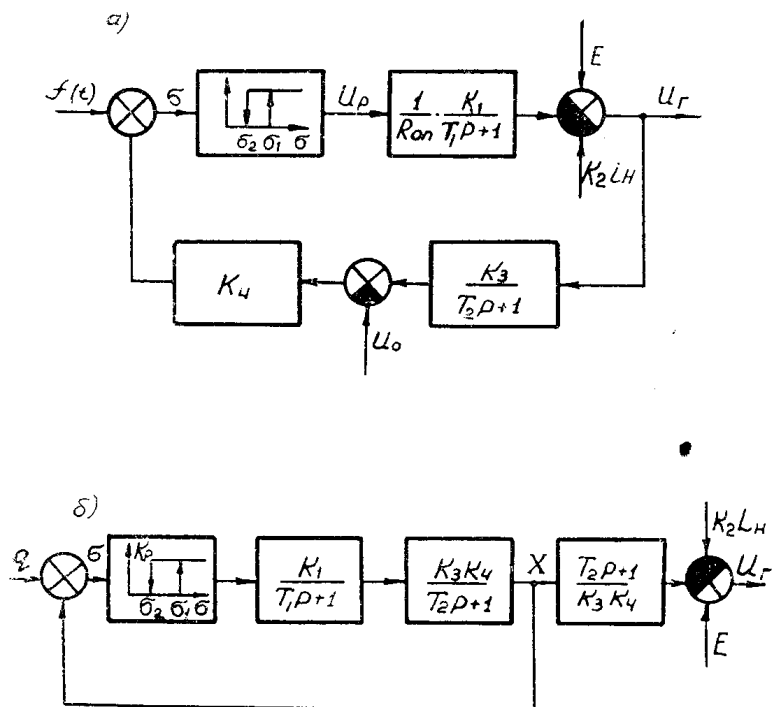


Рис. 1. Структурные схемы системы регулирования напряжения СГ

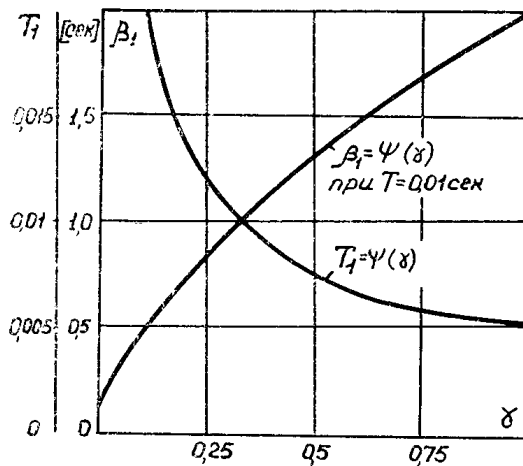


Рис. 2. Графики зависимостей  $T_1=\psi(\gamma)$  и  $\beta_1=\psi(\gamma)$

Усилитель имеет релейную характеристику без запаздывания с напряжением срабатывания  $\sigma_1$ , напряжением отпускания  $\sigma_2$  и выходным напряжением  $U_p$ . В качестве внешнего периодического сигнала рассмотрим подаваемый от специального формирователя (1) пилообразный сигнал  $f(t)$  с амплитудой  $A$ , длительностью заднего фронта  $\mu_2$ , длительностью переднего фронта  $\mu_1$  и постоянной составляющей  $1/2 A$ .

Структурная схема системы регулирования приведена на рис. 1, а. Для упрощения выкладок целесообразно структурную схему преобразовать к виду рис. 1, б, где возмущающие и задающие воздействия приведены по входу реле.

Для установившегося режима работы и  $E = \text{const}$

$$q = k_3 k_4 (E - k_2 i_h) - k_4 U_0. \quad (2)$$

В соответствии с рис. 1, б входная величина реле будет

$$q + f(t) - x(t). \quad (3)$$

Передаточную функцию непрерывной части системы можно известным образом разложить на элементарные передаточные функции первого порядка.

Для  $i$ -й компоненты в установившемся режиме работы изменение выходной координаты будет определяться соотношениями:

При импульсе напряжения на выходе усилителя

$$X_{2i} = C_i k_p \left[ 1 + \frac{e^{-\frac{T_n}{T_i}} - 1}{1 - e^{-\frac{T}{T_i}}} e^{-\frac{t}{T_i}} \right], \quad (4)$$

при паузе

$$X_{1i} = C_i k_p \frac{1 - e^{-\frac{T_n}{T_i}}}{1 - e^{-\frac{T}{T_i}}} e^{-\frac{t}{T_i}}, \quad (5)$$

где  $i = 1, 2$ ;

$C_i$  — коэффициент разложения;

$T_n, T_i$  — длительности паузы и импульса соответственно;

$$k_p = \frac{U_p}{R_{op}}.$$

Начало отсчета времени в (4), (5) совпадает с моментами переключения реле

$$x(t) = \sum_{i=1}^2 x_i(t). \quad (6)$$

Моменты переключения реле будут определяться условиями: при срабатывании

$$\sigma = \sigma_1, \quad \dot{\sigma} > 0, \quad (7)$$

при отпускании

$$\sigma = \sigma_2, \quad \dot{\sigma} < 0. \quad (8)$$

Обозначая сдвиг момента срабатывания реле относительно момента, соответствующего максимальному значению сигнала  $f(t)$  через  $\varphi$ , запишем уравнения для нарастающего и спадающего фронтов сигнала  $f(t)$  соответственно:

$$f_1(t) = \frac{A}{\mu_1} \left( T_n + t - \varphi - \mu_2 \right), \quad (9)$$

$$f_2(t) = \frac{A}{\mu_2} \left( \mu_2 + \varphi - t \right). \quad (10)$$

Введем относительные значения параметров

$$\frac{T_i}{T} = \gamma; \quad \frac{T}{T_i} = \beta_i,$$

где  $T$  — период следования импульсов.

Из (7), (8) с учетом (4)÷(6), (9), (10) получим условия для моментов переключения реле:

$$q + \frac{A}{\mu_2} (\mu_2 + \varphi - T_i) - \sum_{i=1}^2 c_i k_p \lambda_{2i} = \sigma_2, \\ q + \frac{A}{\mu_1} (T - \mu_2 - \varphi) - \sum_{i=1}^2 c_i k_p \lambda_{3i} = \sigma_1, \quad (11)$$

где  $\lambda_{2i} = \frac{1 - e^{-\gamma \beta_i}}{1 - e^{-\beta_i}}; \quad \lambda_{3i} = \frac{e^{-(1-\gamma)\beta_i} - e^{-\beta_i}}{1 - e^{-\beta_i}}.$

Исключая из этих соотношений величину  $\varphi$ , получим:

$$q = -\frac{1}{T} \left[ \mu_2 \sigma_2 + \mu_1 \sigma_1 + \mu_2 \sum_{i=1}^2 c_i k_p \lambda_{2i} + \mu_1 \sum_{i=1}^2 c_i k_p \lambda_{3i} - AT(1-\gamma) \right], \quad (12)$$

Это соотношение определяет зависимость относительной длительности  $\gamma$  от воздействия  $q$  при существовании в системе режима вынужденных колебаний с периодом  $T$ .

Обычно при эксплуатации рассматриваемых систем интересуются средним значением регулируемой величины, которая в соответствии с рис. 1, б определится для установившегося режима

$$U_{reg} = E - k_2 i_h - k_1 k_p \gamma$$

При этом размах пульсаций напряжения  $U_i$  в соответствии с (4), (5) будет

$$\delta U_r = k_1 k_p (\lambda_{21} - \lambda_{31}).$$

На рис. 3 приведены рассчитанные по соотношениям (2), (12), (13) зависимости ошибки регулирования напряжения  $\Delta U_{reg} = U_{reg} - \frac{U_0}{k_4}$  тока нагрузки при  $\mu=0$ ;  $A=1,5$  в;  $\sigma=0,1$  в;  $k_1=5$  в/а;  $k_2=0,4$  в/а;  $k_3=0,6$ ;  $k_p=1,5$  а;  $k_4=10$ ;  $\beta_1=\text{const}$ ;  $\beta_2=0,5$ .  $U\beta_1=\text{var}$  — изменение постоянной времени ОП от значения  $i_p$  (скважности  $\gamma$ ). Там же даны результаты эксперимента.

Анализ соотношений (2), (12), (13) и рис. 3 показывает, что величина ошибки регулирования по среднему значению существенным образом зависит от значений постоянных времени звеньев системы и отличается от значения, рассчитанного по методу вибрационной линеаризации. Изменение постоянной времени ОП от тока  $i_p$  благоприятным образом влияет на величину статической ошибки, уменьшая ее значение.

Изложенный метод расчета ошибки системы регулирования напряжения СГ позволяет рассчитать точные характеристики системы, хорошо совпадающие с результатами эксперимента.

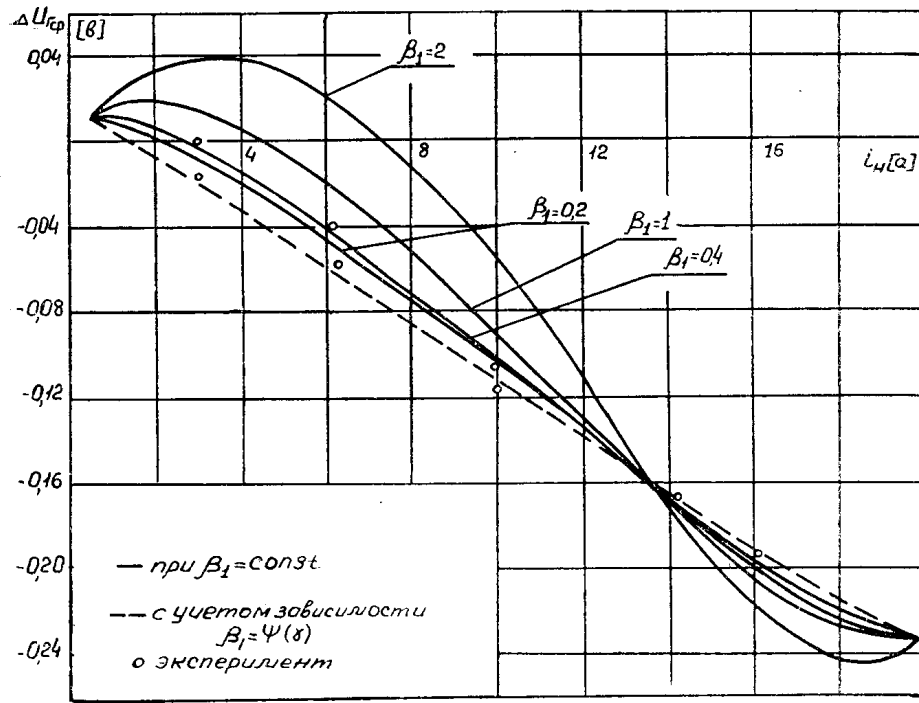


Рис. 3. Графики зависимостей  $\Delta U_{reg} = \psi(I_H)$  при  $\beta_2 \text{const}$  и  $\mu = 0$ .

#### ЛИТЕРАТУРА

1. В. П. Бунаков, Р. Г. Гаспаров. Полупроводниковые регуляторы напряжения и частоты электрических машин. «Энергия», 1966.
2. А. А. Красовский и Г. С. Поспелов. Основы автоматики и технической кибернетики. Госэнергоиздат, 1962.